

# Компьютерные методы небесной механики

## Метод Адамса

Павел Соболев

22 сентября 2021

# Линейные многошаговые методы

Рассмотрим задачу с начальными данными в форме

$$y' = f(t, y), \quad y(t_0) = y_0. \quad (1)$$

Результат аппроксимации решения  $y(t)$ :

$$y_i \approx y(t_i), \text{ где } t_i = t_0 + ih. \quad (2)$$

Линейный многошаговый метод:

$$\begin{aligned} y_{n+s} + a_{s-1} \cdot y_{n+s-1} + a_{s-2} \cdot y_{n+s-2} + \dots + a_0 \cdot y_n = \\ = h \cdot (b_s \cdot f(t_{n+s}, y_{n+s}) + b_{s-1} \cdot f(t_{n+s-1}, y_{n+s-1})) + \\ + \dots + b_0 \cdot f(t_n, y_n)). \end{aligned} \quad (3)$$

## Примеры явных методов

Метод Эйлера ( $s = 1, a_{s-1} = -1, b_s = 0$ ):

$$y_{n+1} = y_n + hf(t_n, y_n); \quad (4)$$

Двухшаговый метод Адамса–Башфорта

( $s = 2, a_{s-1} = -1, b_s = 0$ ):

$$y_{n+2} = y_{n+1} + \frac{3}{2}hf(t_{n+1}, y_{n+1}) - \frac{1}{2}hf(t_n, y_n); \quad (5)$$

Трёхшаговый метод Адамса–Башфорта

( $s = 3, a_{s-1} = -1, b_s = 0$ ):

$$y_{n+3} = y_{n+2} + \frac{23}{12}hf(t_{n+2}, y_{n+2}) - \frac{16}{12}hf(t_{n+1}, y_{n+1}) + \frac{5}{12}hf(t_n, y_n). \quad (6)$$

# Коэффициенты методов Адамса–Башфорта

Используя полиномиальную интерполяцию, находим многочлен  $p$  степени  $s - 1$ , такой что

$$p(t_{n+i}) = f(t_{n+i}, y_{n+i}), \quad i = 0, \dots, s - 1. \quad (7)$$

Интерполяционный многочлен Лагранжа:

$$p(t) = \sum_{j=0}^{s-1} \frac{(-1)^{s-j-1} f(t_{n+j}, y_{n+j})}{j! (s-j-1)! h^{s-1}} \prod_{\substack{i=0 \\ i \neq j}}^{s-1} (t - t_{n+i}). \quad (8)$$

Решение уравнения  $y' = p(t)$  — интеграл от  $p$ , а значит,

$$y_{n+s} = y_{n+s-1} + \int_{t_{n+s-1}}^{t_{n+s}} p(t) dt. \quad (9)$$

## Точность явных методов

Подставляя  $p$  в (9), получаем

$$b_{s-j-1} = \frac{(-1)^j}{j! (s-j-1)!} \int_0^1 \prod_{\substack{i=0 \\ i \neq j}}^{s-1} (u+i) du, \quad (10)$$
$$j = 0, \dots, s-1.$$

Замена  $f(t, y)$  на интерполяционный многочлен  $p$  даёт ошибку порядка  $h^s$ . Таким образом,  $s$ -шаговый явный метод Адамса–Башфорта имеет глобальную ошибку  $O(h^s)$ .

## Примеры неявных методов

Обратный метод Эйлера ( $s = 0$ ,  $a_{s-1} = -1$ ,  $b_s \neq 0$ ):

$$y_{n+1} = y_n + hf(t_{n+1}, y_{n+1}); \quad (11)$$

Метод трапеций ( $s = 1$ ,  $a_{s-1} = -1$ ,  $b_s \neq 0$ ):

$$y_{n+1} = y_n + \frac{1}{2}hf(t_{n+1}, y_{n+1}) + \frac{1}{2}hf(t_n, y_n); \quad (12)$$

Двухшаговый метод Адамса–Мульттона

( $s = 2$ ,  $a_{s-1} = -1$ ,  $b_s \neq 0$ ):

$$\begin{aligned} y_{n+2} = y_{n+1} + \frac{5}{12}hf(t_{n+2}, y_{n+2}) + \\ + \frac{2}{3}hf(t_{n+1}, y_{n+1}) - \frac{1}{12}hf(t_n, y_n). \end{aligned} \quad (13)$$

## Точность неявных методов

Метод получения коэффициентов неявных методов аналогичен тому, что был у явных. Однако теперь в процессе интерполяции участвует и точка  $t_n$ :

$$b_{s-j} = \frac{(-1)^j}{j!(s-j)!} \int_0^1 \prod_{\substack{i=0 \\ i \neq j}}^s (u+i-1) du, \quad (14)$$
$$j = 0, \dots, s.$$

Добавление этой точки повышает точность метода до  $O(h^{s+1})$ .

# Интегрирование уравнений движения

Уравнения движения

$$\frac{d\mathbf{r}}{dt} = \mathbf{v}, \quad \frac{d\mathbf{v}}{dt} = \kappa \frac{\mathbf{r}}{r^3} \quad (15)$$

интегрируются двухшаговым методом Адамса–Башфорта как

$$r_{i+2} = r_{i+1} + \frac{3}{2}h v_{i+1} - \frac{1}{2}h v_i; \quad (16)$$

$$v_{i+2} = v_{i+1} + \frac{3}{2}h \kappa \frac{r_{i+1}}{r_{i+1}^3} - \frac{1}{2}h \kappa \frac{r_i}{r_i^3}. \quad (17)$$



## Листинг 1: Реализация двухшагового метода Адамса-Башфорта

```
# <...>
# Compute the second value of the solution
# by using the one-step Euler's method
ρ = norm(r)^3
for k in 1:N
    a = x * r[k] / ρ
    r[k] += h * v[k]
    v[k] += h * a
end
# Define a couple of independent coefficients
k1 = 3 / 2 * h; k2 = 1 / 2 * h
# Compute the rest in two steps
for _ in 2:n
    ρ = norm(r)^3
    # Define a couple of dependent coefficients
    k3 = k1 * x / ρ; k4 = k2 * x / ρ
    for k in 1:N
        a1 = k3 * r[k]
        a2 = k4 * rk-1[k]
        rk-1[k] = r[k]
        r[k] += k1 * v[k] - k2 * vk-1[k]
        vk-1[k] = v[k]
        v[k] += a1 - a2
    end
end
# <...>
```

# Результаты интегрирования положений

Начальные данные:

$$\mathbf{r} = (1.0, 0.0), \quad \mathbf{v} = (0.0, 0.5). \quad (18)$$

Таблица 1: Сравнение результатов интегрирования положений

$h$	$n$	$r_{ab2}[1]$	$r_{ab2}[2]$
$10^{-2}$	$10^2$	0.435437715211439	0.37944842309144
$10^{-3}$	$10^3$	0.432208217258280	0.37809932620572
$10^{-4}$	$10^4$	0.431892934330208	0.37797224730258
$10^{-5}$	$10^5$	0.431861488949840	0.37795962321643
$10^{-6}$	$10^6$	0.431858345247357	0.37795836165169
$10^{-7}$	$10^7$	0.431858030885679	0.37795823550368

# Результаты интегрирования скоростей

Таблица 2: Сравнение результатов интегрирования скоростей

$h$	$n$	$v_{ab2}[1]$	$v_{ab2}[2]$
$10^{-2}$	$10^2$	-1.3009362221009624	0.01495356507077894
$10^{-3}$	$10^3$	-1.3155265530101994	0.00601992530909697
$10^{-4}$	$10^4$	-1.3170072387780147	0.00511198444829579
$10^{-5}$	$10^5$	-1.3171555182833297	0.00502104680535662
$10^{-6}$	$10^6$	-1.3171703483368804	0.00501195160812497
$10^{-7}$	$10^7$	-1.3171718313629457	0.00501104207428813

# Результаты интегрирования положений за цикл

Таблица 3: Сравнение результатов интегрирования положений за цикл

$h$	$n$	$r_{ab2}[1]$	$r_{ab2}[2]$
$10^{-2}$	271	-0.1604975924005	-0.096692805208753
$10^{-3}$	2714	0.8823584231585	0.093325201740137
$10^{-4}$	27141	0.9886444114973	0.009826145714103
$10^{-5}$	271408	0.9988685738941	0.000985674834330
$10^{-6}$	2714081	0.9998868981071	0.000098688713746
$10^{-7}$	27140809	0.9999886902216	0.000009845830270

# Результаты интегрирования скоростей за цикл

Таблица 4: Сравнение результатов интегрирования скоростей за цикл

$h$	$n$	$v_{ab2}[1]$	$v_{ab2}[2]$
$10^{-2}$	271	0.96438874188171	-2.57672146215406
$10^{-3}$	2714	-0.21096042231669	0.54435348573780
$10^{-4}$	27141	-0.01988354566649	0.50554539418657
$10^{-5}$	271408	-0.00197364723866	0.50056440631491
$10^{-6}$	2714081	-0.00019740040884	0.50005653786030
$10^{-7}$	27140809	-0.00001969188954	0.50000565475921

## Результаты вычисления интеграла энергии

Интеграл энергии вычисляется как

$$\frac{1}{2}v^2 - \frac{\kappa^2}{r} = E = \text{const.} \quad (19)$$

Для указанных начальных данных  $E = -0.875$ .

Таблица 5: Сравнение результатов вычисления интеграла энергии

$h$	$n$	$E$	$\Delta E$
$10^{-2}$	$10^2$	-0.8850625221433668	0.010062522143366781
$10^{-3}$	$10^3$	-0.8760787029383865	0.001078702938386522
$10^{-4}$	$10^4$	-0.8751086216122844	0.000108621612284421
$10^{-5}$	$10^5$	-0.8750108697017762	0.000010869701776217
$10^{-6}$	$10^6$	-0.8750010870457463	0.000001087045746306
$10^{-7}$	$10^7$	-0.8750001087053603	0.000000108705360269

# Результаты вычисления интеграла энергии за цикл

Таблица 6: Сравнение результатов  
вычисления интеграла энергии за цикл

$h$	$n$	$E$	$\Delta E$
$10^{-2}$	271	-1.552153224026029	0.677153224026029
$10^{-3}$	2714	-0.956627303555853	0.081627303555853
$10^{-4}$	27141	-0.883450312956503	0.008450312956504
$10^{-5}$	271408	-0.875847910174825	0.000847910174825
$10^{-6}$	2714081	-0.875084819803159	0.000084819803159
$10^{-7}$	27140809	-0.875008482268327	0.000008482268327

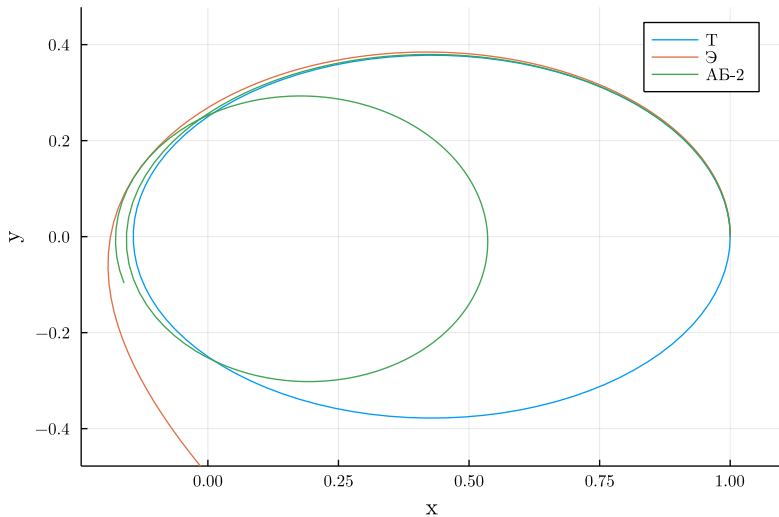


Рис. 1: Визуализация орбиты при  $h = 10^{-2}$ ,  $n = 10^2$



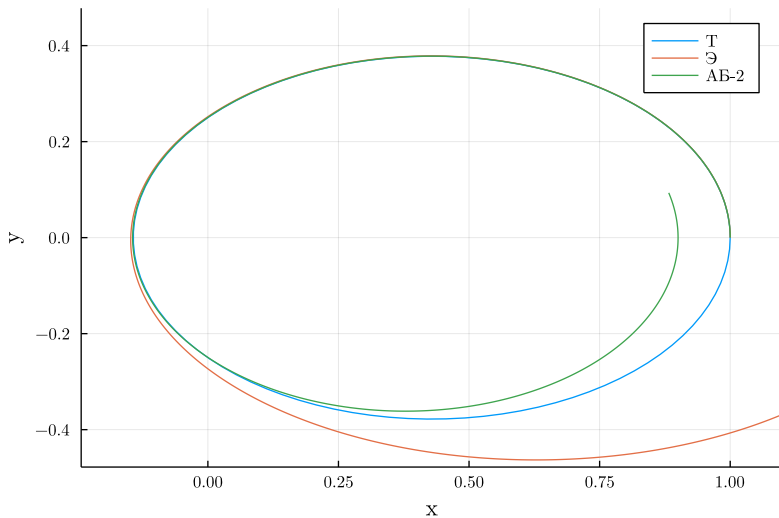


Рис. 2: Визуализация орбиты при  $h = 10^{-3}$ ,  $n = 10^3$

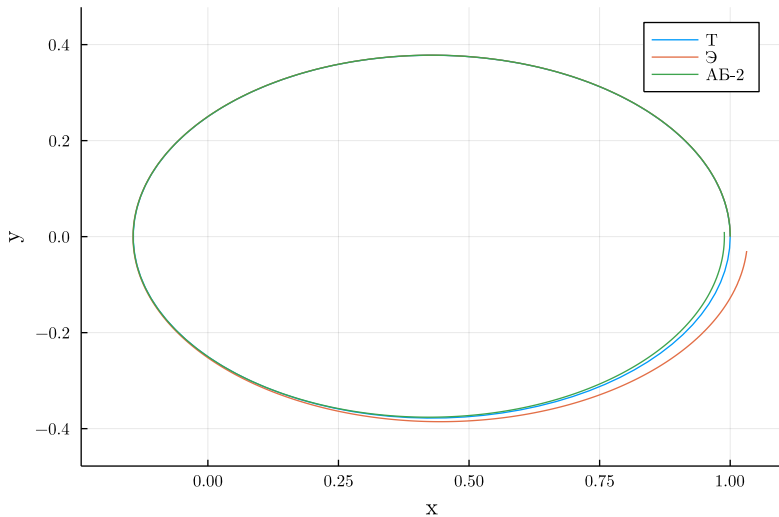


Рис. 3: Визуализация орбиты при  $h = 10^{-4}$ ,  $n = 10^4$

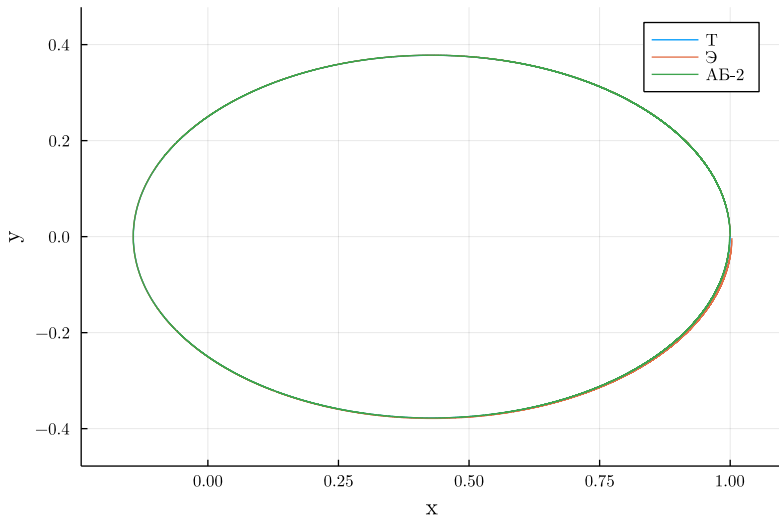


Рис. 4: Визуализация орбиты при  $h = 10^{-5}$ ,  $n = 10^5$